

7. Рассмотрим краевые задачи для ОДУ.

- $\varepsilon y'' = (y')^2$, $y(0) = 1$, $y(1) = 0$, $0 < \varepsilon \ll 1$.
 - а) Получить точное решение, сделав замену переменных $y_x^{-1} = p(y)$.
 - б) Численно исследовать поведение решения при $\varepsilon \rightarrow 0$ ($0 < \varepsilon < 1$), сравнить с точным.
- $\varepsilon y'' = [y - u(x)]^{2q+1}$, $y(-1) = A$, $y(1) = B$, $q \in \mathbb{N}$, $0 < \varepsilon \ll 1$. При $u(x) = |x|$ образуется погранслоем вблизи $x = 0$. Рассмотреть случаи: $u(x) = |x|$, $A = 1$, $B > 1$; $u(x) = x^2$, $A > 1$, $B > 1$; $u(x) = |x|$, $A > 1$, $B > 1$.
Что происходит при увеличении q ?
- $\varepsilon y'' = y - y^3$, $y(0) = A$, $y(1) = B$, $|A| < \sqrt{2}$, $|B| < \sqrt{2}$, $0 < \varepsilon \ll 1$, $\varepsilon = 10^{-2}; 10^{-3}; 10^{-4}$ («пиковые» структуры).
- $\varepsilon y'' = y^3 - q$, $y(0) = A < -1$, $y(1) = B > 1$ (внутренний погранслоем $x = 1/2$).
Исследовать толщину погранслоя в зависимости от ε .
- $\varepsilon y'' = -y[y + a(x)]$, $y(0) = y_0$, $y(1) = y_1$, $a(x) = x$.
Рассмотреть поведение решения при $\varepsilon \rightarrow 0$ (удастся ли получить погранслоем типа всплеска?)

8. Численно решить задачу на нахождение собственных значений и функции волнового уравнения методами стрельбы и прогонки: $y'' = -k^2 y$, $y(0) = y(1) = 0$.

Сравнить численные решения между собой и с точными:

$$k_n = n\pi, \quad y_n \approx \sin(n\pi x), \quad n > 0.$$

Рассмотреть случай больших k .

- Использовать явный и неявный методы не ниже четвертого порядка точности, сравнить полученные решения с численным решением, полученным по методу (любому) первого порядка точности;
- для получения численного решения задач из п. 7.1 ÷ 7.5 использовать методы стрельбы и прогонки (квазилинеаризации). Какой из этих двух методов, на ваш взгляд, предпочтительнее?

9. Численно показать, что решение задачи

$$\begin{cases} \frac{\partial u}{\partial t} = \frac{\partial}{\partial x} \left(a u^\alpha \frac{\partial u}{\partial x} \right), & \alpha > 0, \\ u(\infty, t) = 0, & u(0, t) = ct^{1/\alpha}, \quad u(x, 0) = 0 \end{cases} \quad (\text{П2.15})$$

представляет собой бегущую волну, распространяющуюся с конечной скоростью, причем на фронте решение терпит разрыв

первой производной (обобщенное решение). Сравните численное решение с точным:

$$u(t, x) = \left[\frac{\alpha v}{a} (x - vt) \right]^{1/\alpha}, \quad (\text{П2.16})$$

где $v = ac^\alpha / \alpha$. Положить: $\alpha = 1; 3/2; 2$; $a = 0,1; 1; 10$. Использовать схему вида

$$\frac{u_m^{n+1} - u_m^n}{\tau} = \frac{1}{h} \left(k_{m+1/2} \frac{u_{m+1}^{n+1} - u_m^{n+1}}{h} - k_{m-1/2} \frac{u_m^{n+1} - u_{m-1}^{n+1}}{h} \right); \quad (\text{П2.17})$$

проверить численно, какой из вариантов вычисления k предпочтительнее:

$$\begin{aligned} \text{а) } k_{m+1/2} &= \frac{a}{2} [(u_m^n)^\alpha + (u_{m+1}^n)^\alpha], \\ \text{б) } k_{m+1/2} &= a \left(\frac{u_m^n + u_{m+1}^n}{2} \right)^\alpha, \\ \text{в) } k_{m+1/2} &= a \left(\frac{2u_m^n u_{m+1}^n}{u_m^n + u_{m+1}^n} \right)^\alpha, \\ \text{г) } k_{m+1/2} &= a \frac{2(u_m^n)^\alpha (u_{m+1}^n)^\alpha}{(u_m^n)^\alpha + (u_{m+1}^n)^\alpha} \end{aligned} \quad (\text{П2.18})$$

- Построить профили $u(x)$ по времени ($u(t, x)$ — температура внутри сверхновой звезды при взрыве, который инициирует так называемую тепловую волну);
- положив $k = \text{const} = 1$, рассмотреть численное решение, полученное при помощи разностных схем с шаблонами, приведенными на рис. П2.1.

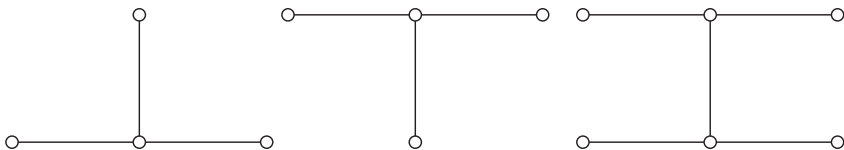


Рис. П2.1

10. Получить численное решение уравнения теплопроводности, описывающего распространение температуры

$$\frac{\partial u}{\partial t} = \frac{\partial^2 u}{\partial x^2} + \frac{\partial^2 u}{\partial y^2}, \quad 0 \leq x \leq 1, \quad 0 \leq y \leq 1, \quad (\text{П2.19})$$

$$\begin{aligned} u(0, x, y) &= 0; & u(t, 0, y) &= 0; & u(t, 1, y) &= 1; \\ u(t, x, 0) &= 2; & u(t, x, 1) &= 3, \end{aligned}$$

используя разностные схемы расщепления:

$$\text{а) } \frac{\tilde{u}_{ml} - u_{ml}^n}{\tau} = \Lambda_1 \tilde{u}_{ml}, \quad \frac{u_{ml}^{n+1} - \tilde{u}_{ml}}{\tau} = \Lambda_2 u_{ml}^{n+1}; \quad (\text{П2.20})$$

$$\text{б) } \begin{cases} \frac{u_{ml}^{n+1/2} - u_{ml}^n}{\tau} = \Lambda_1 \left[\xi u_{ml}^{n+1/2} + (1 - \xi) u_{ml}^n \right], \\ \frac{u_{ml}^{n+1/2} - u_{ml}^{n+1/2}}{\tau} = \Lambda_2 \left[\xi u_{ml}^{n+1} + (1 - \xi) u_{ml}^{n+1/2} \right], \end{cases} \quad \xi = 1/2; \quad (\text{П2.21})$$

$$\text{в) } \begin{cases} \frac{\tilde{u}_{ml}^- u_{ml}^n}{\tau} = \frac{1}{2} (\Lambda_1 \tilde{u}_{ml}^+ \Lambda_2 u_{ml}^n), \\ \frac{u_{ml}^{n+1/2} - u_{ml}^{n+1/2}}{\tau} = \frac{1}{2} (\Lambda_1 \tilde{u}_{ml}^+ \Lambda_2 u_{ml}^{n+1}); \end{cases} \quad (\text{П2.22})$$

$$\text{г) } \frac{\tilde{u}_{ml} - u_{ml}^n}{\tau} = \Lambda_1 u_{ml}^n, \quad \frac{u_{ml}^{n+1} - \tilde{u}_{ml}}{\tau} = \Lambda_2 \tilde{u}_{ml}, \quad (\text{П2.23})$$

$$\Lambda_1 u_{ml}^{n+1} = \frac{u_{m-1,l}^{n+1} - 2u_{m,l}^{n+1} + u_{m+1,l}^{n+1}}{h_x^2}; \quad \Lambda_2 = \frac{u_{m,l-1}^{n+1} - 2u_{m,l}^{n+1} + u_{m,l+1}^{n+1}}{h_y^2},$$

h_x, h_y — шаги по x, y .

- сравнить их (по u в нескольких точках);
- исследовать сходимость численного решения по сетке.

11. Сравнить численные решения, полученные по разностным схемам Лакса, Куранта–Изаксона–Риса, Лакса–Вендроффа, Уорминга–Кутлера–Ломакса для уравнения переноса в недивергентной и дивергентной формах:

$$\begin{aligned} \frac{\partial u}{\partial t} + u \frac{\partial u}{\partial x} &= 0, \\ \frac{\partial u}{\partial t} + \frac{\partial (u^2/2)}{\partial x} &= 0. \end{aligned}$$

Начальные профили представлены на рис. П2.2.

Исследовать сходимость численных решений по сетке (при $h \rightarrow 0$, h — шаг по координате).

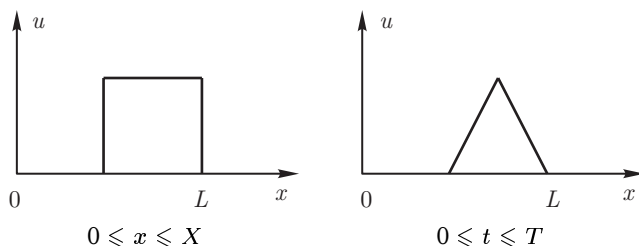


Рис. П2.2

12. Сравнить численные решения, полученные по разностным схемам:

- Куранта–Изаксона–Риса,
- Мак-Кормака,
- гибридной схеме Федоренко,
- TVD,

для линейного одномерного уравнения переноса

$$\frac{\partial u}{\partial t} + c \frac{\partial u}{\partial x} = 0.$$

Начальные профили представлены на рис. П2.3.

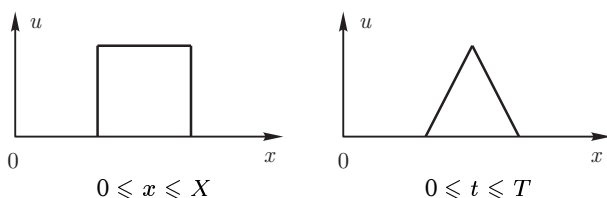


Рис. П2.3

Исследовать сходимость численных решений по сетке (при $h \rightarrow 0$, h — шаг по координате).

13. Рассматривается среда, находящаяся в начальный момент времени в жидком состоянии при температуре $T(x, 0) > T_p$ (T_p — температура плавления). Поверхность среды при $x = 0$ поддерживается при $T(0, t) < T_p$, и при $x = 1$: $T(1, t) > T_p$. В предположении, что плотность среды не изменится при фазовом превращении, процесс затвердевания описывается следующими уравнениями:

$$\begin{cases} \rho c_s \frac{\partial T}{\partial t} = a_s \frac{\partial^2 T}{\partial x^2}, & 0 \leq x \leq y(t), \\ \rho c_f \frac{\partial T}{\partial t} = a_f \frac{\partial^2 T}{\partial x^2}, & y(t) \leq x \leq 1, \end{cases} \quad (\text{П2.24})$$

где $y(t)$ — положение фазового фронта, индексы s и f относятся к твердой и жидкой фазам. (П2.24) дополняется начальными и граничными условиями, а также условиями на фазовом фронте:

$$\begin{cases} u(x, 0) = g(x), & 0 \leq x \leq 1; \\ u(0, t) = f_1(t); & u(1, t) = f_2(t); \\ a_s \frac{\partial T}{\partial x}(y-0) - a_f \frac{\partial T}{\partial x}(y+0) = \rho L \frac{\partial y}{\partial t} \end{cases} \quad (\text{П2.25})$$

(условие баланса энергии при движении фазового фронта).

Примем (вода–лед): $x = 0$ (поверхность водоема), $x = L = 1$ м (дно водоема);

$$g(x) = \frac{7x}{L} + 273 \text{ К};$$

$$f_1(t) = [273 - 13(1 - e^{-10^z})] \text{ К};$$

$$f_2(t) = 280 \text{ К}; \quad l = 1 \text{ м}; \quad \rho = 10^3 \frac{\text{кг}}{\text{м}^3};$$

теплоемкость: вода — 4200, лед — 2100 Дж/(кг · К); коэффициент теплопроводности: вода — 0,56, лед — 2,25 Вт/(м · К); коэффициент температуропроводности: вода — $1,33 \cdot 10^{-7}$, лед — $1,08 \times 10^{-6} \text{ м}^2/\text{с}$; удельная теплота плавления: $3,3 \cdot 10^5$ Дж/кг, температура плавления 273 К.

- Рассчитать профили $T(x)$ в различные моменты времени; представить в виде графиков;
- рассчитать и представить в виде графика положение фронта фазового перехода;
- использовать три разностные схемы.

Исследуйте сходимость численного решения по сетке, представленной на рис. П2.4.

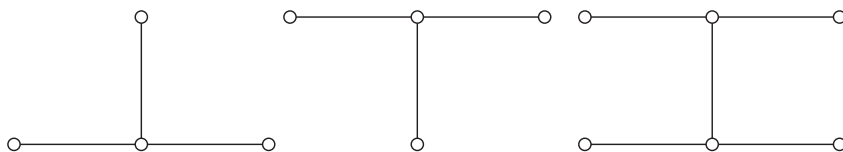


Рис. П2.4

14. Основное уравнение математической экологии — уравнение Бюргерса, описывающее перенос и диффузию загрязнений (в воде или воздухе); его линеаризованный вариант имеет вид:

$$\frac{\partial u}{\partial t} + c \frac{\partial u}{\partial x} = \mu \frac{\partial^2 u}{\partial x^2}, \quad (П2.26)$$

$$u(0, t) = U, \quad u(L, t) = 0, \quad u(x, 0) = 0.$$

Здесь u — концентрация некоторого вещества, μ — коэффициент диффузии, $\{t, x\}$ — независимые переменные, $c = \text{const}$ — постоянная скорость потока (например, реки).

- Предложить явную и неявную схемы для численного решения (П2.1) и получить численное решение;
- представить результаты в виде профилей $u(x)$ в различные моменты времени;

- исследовать поведение численного решения в зависимости от μ ($\mu = 1; 0,5; 0,01; 0,0001$) и c ($c = 1; 0,1; 0,01; 0,0001$), $L = 1$.
- исследовать схемы на сходимость по сетке, т.е. при $h \rightarrow 0$ ($x \in [0, 10]; t \in [0, T]$).

Точное нестационарное решение (П2.26) имеет вид (при $u(x, 0) = \sin kx$ и периодических граничных условиях):

$$u(x, t) = \exp(-k^2 \mu t) \sin k(x - ct). \quad (\text{П2.27})$$

Проверить (численно) формулу (П2.27).

15. Для описания распространения акустических волн в несжимаемой среде можно использовать так называемую акустическую систему:

$$\begin{aligned} \frac{\partial \mathbf{w}}{\partial t} + \mathbf{A} \frac{\partial \mathbf{w}}{\partial x} &= 0, \quad x \in [0, L], \quad t \in [0, T], \\ \mathbf{w} &= \begin{pmatrix} u \\ p \end{pmatrix}; \quad \mathbf{A} = \begin{Bmatrix} u & \rho^{-1} \\ \rho c^2 & 0 \end{Bmatrix}, \end{aligned} \quad (\text{П2.28})$$

или:

$$\begin{aligned} \frac{\partial u}{\partial t} + \frac{1}{\rho} \frac{\partial p}{\partial x} &= 0, \\ \frac{\partial p}{\partial t} + \rho c^2 \frac{\partial u}{\partial x} &= 0, \end{aligned} \quad (\text{П2.28a})$$

где u — скорость частиц среды, p — давление, ρ — плотность среды, c — скорость звука, \mathbf{A} — матрица 2×2 . Система (П2.28) дополняется начальными и граничными условиями:

$$\begin{aligned} u(x, 0) &= q_1(x), \\ p(x, 0) &= q_2(x); \\ \alpha_1 u(0, t) + \beta_1 p(0, t) &= f_1(t) \\ \alpha_2 u(1, t) + \beta_2 p(1, t) &= f_2(t) \end{aligned} \quad (\text{П2.29})$$

а) Введя разностную сетку с шагами τ, h используем для аппроксимации (П2.28), (П2.29) схему Лакса–Вендроффа ($\sigma = ch/\tau$; $T = n\tau$, $L = mh$):

$$\begin{cases} u_m^{n+1} = u_m^n - \frac{\sigma}{2\rho c} (p_{m+1}^n - p_{m-1}^n) + \frac{\sigma^2}{2} (u_{m+1}^n - 2u_m^n + u_{m-1}^n), \\ p_m^{n+1} = p_m^n - \frac{\sigma}{2} \rho c (u_{m+1}^n - u_{m-1}^n) + \frac{\sigma^2}{2} (p_{m+1}^n - 2p_m^n + p_{m-1}^n), \end{cases} \quad (\text{П2.30})$$

или в векторной форме:

$$\mathbf{w}^n = \mathbf{w}^n - \frac{\sigma}{2} \mathbf{A} (\mathbf{w}_{m+1}^n - \mathbf{w}_{m-1}^n) + \frac{\sigma^2}{2} \mathbf{A}^2 (\mathbf{w}_{m+1}^n - 2\mathbf{w}_m^n + \mathbf{w}_{m-1}^n). \quad (\text{П2.31})$$

б) *Инварианты Римана*. Умножим первое уравнение в (П2.28) на $c\rho$, сложим полученные уравнения и вычтем первое из второго, получим:

$$\begin{cases} \frac{\partial}{\partial t} (p + c\rho u) + c \frac{\partial}{\partial x} (p + c\rho u) = 0, \\ \frac{\partial}{\partial t} (p - c\rho u) - c \frac{\partial}{\partial x} (p - c\rho u) = 0, \end{cases} \quad (\text{П2.32})$$

или, в обозначениях $R = p + c\rho u$, $S = p - c\rho u$ (соответственно $u = \frac{R - S}{2\rho c}$, $p = \frac{R + S}{2}$):

$$\frac{\partial R}{\partial t} + c \frac{\partial S}{\partial x} = 0, \quad \frac{\partial S}{\partial t} - c \frac{\partial R}{\partial x} = 0; \quad (\text{П2.33})$$

величины R и S называются *инвариантами Римана*; (П2.33) — уравнение в инвариантах Римана. Решение (П2.33) можно записать в виде:

$$R(x, t) = R(x - ct), \quad S(x, t) = S(x + ct), \quad (\text{П2.34})$$

т. е. R и S сохраняются вдоль характеристик $dx/dt = c$ соответственно.

- Получить численные решения (П2.28) по схеме Лакса-Вендроффа.
- получить численное решение (П2.29) по схеме Рунге (или «кабаре»):

$$\begin{cases} \frac{1}{2} \left(\frac{R_m^{n+1} - R_m^n}{\tau} + \frac{R_{m-1}^n - R_{m-1}^{n-1}}{\tau} \right) + c \frac{R_m^n - R_{m-1}^n}{h} = 0, \\ \frac{1}{2} \left(\frac{S_m^{n+1} - S_m^n}{\tau} + \frac{S_{m+1}^n - S_{m+1}^{n-1}}{\tau} \right) - c \frac{S_{m+1}^n - S_m^n}{h} = 0, \\ R_m^n = p_m^n + c\rho \cdot u_m^n, \quad S_m^n = p_m^n - c\rho \cdot u_m^n, \\ u_m^n = \frac{R_m^n - S_m^n}{2\rho c}, \quad p_m^n = \frac{R_m^n + S_m^n}{2}, \end{cases}$$

предварительно получив соответствующие (П2.32) начальные и граничные условия.

- получить численное решение задачи распада разрыва

$$u(x, 0) = \begin{cases} u_1, & x \leq 0, \\ u_2, & x > 0, \end{cases} \quad u_2 > u_1 > 0,$$

$$p(x, 0) = \begin{cases} p_1, & x \leq 0, \\ p_2, & x > 0; \end{cases} \quad u_2(x, 0) = 2; \quad u_1(x, 0) = 1;$$

$$p_2(x, 0) = \rho c u_2, \quad p_1(x, 0) = \rho c u_1;$$

- сравнить эти решения, представив профили $u(x)$ и $p(x)$ в различные моменты t ;
- показать сходимость численных решений, полученных по обеим схемам, по сетке (т. е. при $\tau \rightarrow 0$);
- получить численное решение (П2.32) с помощью схемы Куранта–Изаксона–Риса; соответствующий шаблон представлен на рис. П2.5.

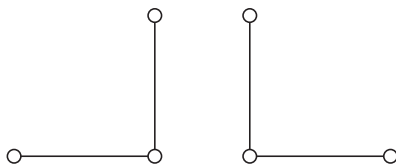


Рис. П2.5

16. Рассмотрим задачу о нагревании балки квадратного сечения, бесконечной по одной оси координат (Oz).

Пусть температура грани $ABCD$ (рис. П2.6) поддерживается постоянной: 1 на AB , 2 на BC , 3 на CD и 4 на DA (температура приведена в относительных единицах; $T_* = 100^\circ\text{C}$). Размер грани $L = 0,1$ м.

Получить численное решение стационарной задачи теплопроводности

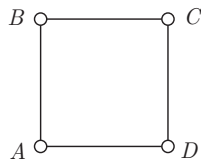


Рис. П2.6

$$\frac{\partial^2 u}{\partial x^2} + \frac{\partial^2 u}{\partial y^2} = 0 \quad (\text{П2.35})$$

с приведенными граничными условиями, используя итерационные методы:

а) Якоби:

$$\frac{u_{m-1,l}^{i+1} - 2u_{ml}^{i+1} + u_{m+1,l}^i}{h_x^2} + \frac{u_{m,l-1}^{i+1} - 2u_{ml}^{i+1} + u_{m,l+1}^i}{h_y^2} = f_{m,l}, \quad (\text{П2.36})$$

$mh_x = L$, $lh_y = L$ (h_x, h_y — шаги по координатам x, y);

б) Зейделя:

$$\frac{u_{m-1,l}^{i+1} - 2u_{m,l}^{i+1} + u_{m+1,l}^i}{h_x^2} + \frac{u_{m,l-1}^{i+1} - 2u_{m,l}^{i+1} + u_{m,l+1}^i}{h_y^2} = f_{m,l}; \quad (\text{П2.37})$$

в) верхней релаксации ($h_x = h_y$)

$$\begin{aligned} \frac{u_{m-1,l}^{i+1} + u_{m,l-1}^{i+1}}{h^2} + \frac{u_{m+1,l}^i + u_{m,l+1}^i}{h^2} = \\ = -\frac{4}{h^2} \left[\frac{u_{m,l}^i}{\tau} + \left(1 - \frac{1}{\tau}\right) u_{m,l}^i \right] = f_{m,l}. \end{aligned} \quad (\text{П2.38})$$

- Сравнить эти методы по скорости сходимости (численно и теоретически);
- проверить сходимость численного решения по сетке (т. е. при $h_x, h_y \rightarrow 0$);
- исследовать численно скорость сходимости (П2.38) от величины итерационного параметра τ ;
- результаты численного решения представить в виде изолиний $T(x, y) = \text{const}$ и в виде одномерных графиков $T(x)$ при разных значениях y и $T(y)$ при разных значениях x .

17. Получить численное решение одномерных линейного и нелинейного уравнений переноса (в дивергентной и недивергентной формах):

$$\frac{\partial u}{\partial t} + a \frac{\partial u}{\partial x} = 0, \quad a = \text{const}; \quad (\text{П2.39})$$

$$\frac{\partial u}{\partial t} + u \frac{\partial u}{\partial x} = 0, \quad (\text{П2.40})$$

$$\frac{\partial u}{\partial t} + \frac{\partial (u^2/2)}{\partial x} = 0; \quad (\text{П2.41})$$

$$t \in [0, T], \quad x \in [-X, X]; \quad (\text{П2.42})$$

$$u(0, x) = \begin{cases} u_1, & x > 0, \\ u_2, & x \leq 0; \end{cases}$$

$T = 100$; $X = 10$; $a = 1$; $N\tau = T$, $Mh = 2X$, $M = 10^3$, (τ, h — шаги по времени и по координате) с помощью разностных схем:

- Куранта–Изаксона–Риса;
- Лакса–Вендроффа;
- гибридной схемы Федоренко;
- Хартена (TVD);
- Колгана;
- ENO-схемы.

18. Получить численное решение одномерной задачи о распаде разрыва в идеальном газе, используя систему нестационарных уравнений газодинамики

$$\frac{\partial \mathbf{U}}{\partial t} + \mathbf{A} \frac{\partial \mathbf{U}}{\partial x} = 0 \quad (\text{П2.43})$$

$$\mathbf{U} = \{\rho, u, \varepsilon\}^T, \quad \mathbf{A} = \begin{Bmatrix} u & \rho & 0 \\ \frac{1}{\rho} \frac{\partial p}{\partial \rho} & u & \frac{1}{\rho} \frac{\partial p}{\partial \varepsilon} \\ 0 & p/\rho & u \end{Bmatrix},$$

где ρ — плотность, u — скорость газа, ε — удельная внутренняя энергия газа, $\{t, x\}$ — независимые координаты; $\rho(0, x) = \rho_0$, $u(0, x) = 0$, $\varepsilon(x, 0) = \varepsilon_0$; уравнение состояния:

$$p - \rho \varepsilon (\gamma - 1) = 0, \quad \gamma = 1,4;$$

$$\rho(0, x) = \begin{cases} \rho_1, & x \leq 0, \\ \rho_2, & x > 0, \end{cases}$$

$$t \in [0, T]; \quad x \in [-X, X]; \quad N_\tau = T,$$

$$Mh = 2X, \quad M = 20, 100, 1000; \quad h — шаг по x , τ — шаг по t .$$

Использовать сеточно-характеристический метод ($\sigma = \tau/h$):

$$\mathbf{U}_m^{n+1} = \mathbf{U}_m^n - \sigma [(\mathbf{\Omega}^{-1} \mathbf{\Lambda}^+ \mathbf{\Omega})_m^n (\mathbf{U}_{m-1}^n - \mathbf{U}_m^n) - (\mathbf{\Omega}^{-1} \mathbf{\Lambda}^- \mathbf{\Omega})_m^n (\mathbf{U}_{m+1}^n - \mathbf{U}_m^n)]. \quad (\text{П2.44})$$

Здесь: $\mathbf{\Lambda}^\pm = (1/2)(\mathbf{\Lambda} + |\mathbf{\Lambda}|)$, $\mathbf{\Lambda}$ — диагональная матрица: $\mathbf{\Lambda} = \text{diag}(\lambda_1, \lambda_2, \lambda_3)$. $\lambda_1 = u + c$, $\lambda_2 = u$, $\lambda_3 = u - c$ являются собственными числами матрицы \mathbf{A} ;

$$\mathbf{\Omega} = \begin{Bmatrix} \frac{\partial p}{\partial \rho} & \rho c & \frac{\partial p}{\partial \varepsilon} \\ p & 0 & -\rho^2 \\ p & -\rho c & \frac{\partial p}{\partial \rho} \end{Bmatrix} = \begin{Bmatrix} \boldsymbol{\omega}_1 \\ \boldsymbol{\omega}_2 \\ \boldsymbol{\omega}_3 \end{Bmatrix}$$

— матрица, строками которой являются соответствующие собственные векторы \mathbf{A} (причем $\mathbf{A} = \mathbf{\Omega}^{-1} \mathbf{\Lambda} \mathbf{\Omega}$), получаемые из соотношения $\boldsymbol{\omega}_i \mathbf{A} = \lambda_i \boldsymbol{\omega}_i$.

19. Одна из постановок задачи взаимодействия лазерного излучения с веществом имеет следующий вид (задача физики горения, u — температура):

$$\frac{\partial u}{\partial t} = \frac{1}{r} \cdot \frac{\partial}{\partial r} \left(r \frac{\partial u}{\partial r} \right) + \frac{\partial^2 u}{\partial z^2}, \quad r \geq 0, \quad z \geq 0; \quad (\text{П2.45})$$

$$-\frac{\partial u}{\partial z} = I(r) + e^{-1/u} - \eta u; \quad r \geq 0, \quad z \geq 0;$$

$$u(r, z, 0) = u_0(r, z) \geq 0,$$

$$u \rightarrow 0 \text{ при } \sqrt{r^2 + z^2} \rightarrow \infty.$$

$e^{-1/u}$ — описывает энерговыделение реакции на поверхности образца, $-\eta u$ — теплопотери, $I(r) = I_0 e^{(-r^2/r_0^2)}$, $r_0 = 2$ мм.

- Получить численное решение задачи (П2.45) с помощью локально-одномерной разностной схемы;
- исследовать распределение температуры u по r и z в различные моменты времени;
- показать сходимость решения по сетке (т.е. при $h_x \rightarrow 0$, $h_y \rightarrow 0$);
- получить численное решение (П2.45) при помощи явной разностной схемы. Какой шаг по времени необходимо для этого выбрать?
- Исследовать поведение рассматриваемой среды в зависимости от параметров η , I_0 , r_0 .

20. Уравнение, описывающее как конвективные, так и диффузионные процессы, называется *уравнением Бюргерса*:

$$\frac{\partial u}{\partial t} + u \frac{\partial u}{\partial x} = \mu \frac{\partial^2 u}{\partial x^2}, \quad \mu = \text{const} > 0. \quad (\text{П2.46})$$

Зададим начальные данные в следующем виде:

$$u(x, 0) = \begin{cases} u_1, & x < x_0, \\ u_2, & x > x_0, \end{cases} \quad u_0 = 0, \quad (\text{П2.47})$$

$u_1 < u_2$; t, x — независимые переменные (положим: $u_1 = 1$, $u_2 = 0$; $x \in [-10, 10]$, $t \in [0, T]$).

Точное решение (П2.46) имеет вид:

$$u(x, t) = u_2 + \frac{u_1 - u_2}{1 + g(x, t) \exp \left\{ \frac{u_1 - u_2}{2\mu} (x - x_0 - Dt) \right\}},$$

$$g(x, t) = \frac{\int_{-(x-x_0-u_2t)/\sqrt{4\mu t}}^{\infty} e^{-\xi^2} d\xi}{\int_{(x-x_0-u_1t)/\sqrt{4\mu t}}^{\infty} e^{-\xi^2} d\xi}, \quad (\text{П2.48})$$

$$D = \frac{u_1 + u_2}{2}.$$

- Получить численное решение (П2.46), (П2.47) при $\mu = 0 \div 1,0$. Есть ли что-нибудь общее во всех решениях при разных μ («центр сглаженных ударных волн»)?

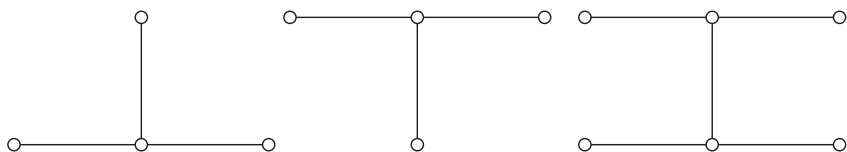


Рис. П2.7

- Использовать для численного решения (П2.46) схемы с шаблонами, приведенными на рис. П2.7;
- проверить сходимость численного решения по сетке (при $h \rightarrow 0$) и сравнить с (П2.48).

21. Для численного решения уравнения Кортевега–де Фрикса (КдФ)

$$u_t + 6uu'_x + u_x''' = 0, \quad t > 0, \quad x \in [-10, 10] \quad (\text{П2.49})$$

(на границах области интегрирования ставятся условия периодичности) рассмотреть две разностные схемы (рис. П2.8 и П2.9) с шаблонами (вторая—аналог схемы Саульева для уравнения теплопроводности).

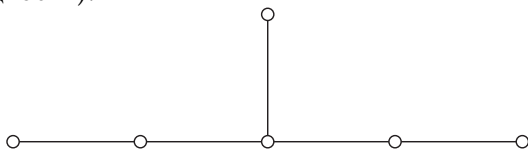


Рис. П2.8

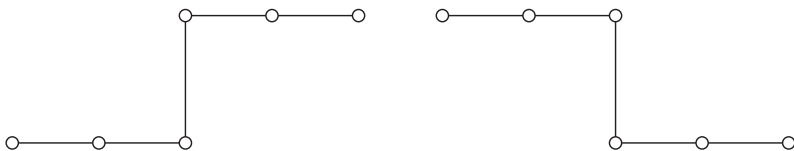


Рис. П2.9

- Сравнить численные решения, полученные по обеим схемам;
- показать сходимость по сетке (при $h \rightarrow 0$);
- рассмотреть начальные условия, представленные на рис. П2.10.

Как изменится численное решение, если к явлениям конвекции и дисперсии, описываемых уравнением КдФ, добавится диссипация

$$u_t - 6uu'_x + u_x'' = \mu u_x'', \quad \mu = 10^{-4} \div 1 \quad (\text{П2.50})$$

(показать расчетом по одной из схем на рис. П2.8, П2.9).

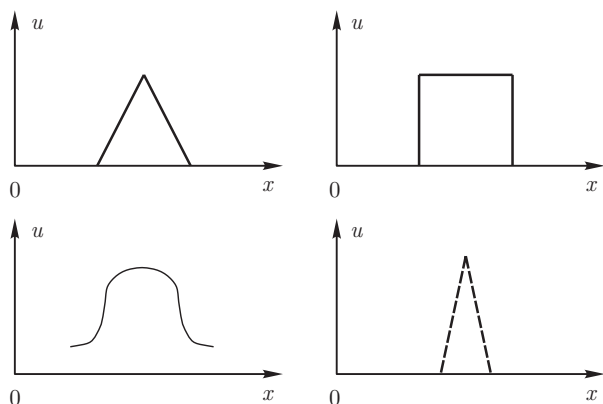


Рис. П2.10

Уравнение (П2.49) имеет бесконечное число законов сохранения:

$$\int_{\Omega} u dx = C_1, \quad (\text{П2.51})$$

$$\int_{\Omega} u^2 dx = C_2, \quad (\text{П2.52})$$

$$\int_{\Omega} \left(\frac{(u'_x)^2}{2} + u^3 \right) dx = C_3, \quad (\text{П2.53})$$

.....

Проверить любой из них.

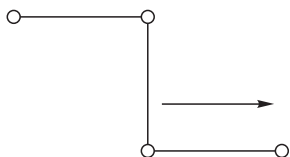


Рис. П2.11

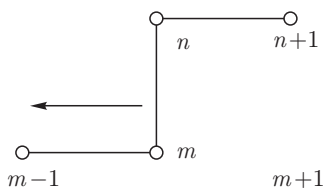


Рис. П2.12

Комментарий. Организация счета по схеме Саульева: на четных слоях счет идет слева направо (рис. П2.11) по формулам

$$\frac{u_m^{n+1} - u_m^n}{\tau} = \frac{1}{k^2} (u_{m-1}^{n+1} - u_m^{n+1} + u_m^n - u_{m+1}^n), \quad (\text{П2.54})$$

на нечетных — справа налево (рис. П2.12):

$$\frac{u_m^{n+1} - u_m^n}{\tau} = \frac{1}{k^2} (u_{m-1}^{n+1} - u_m^{n+1} - u_m^n + u_{m+1}^n). \quad (\text{П2.55})$$

22. Движение частицы заряда q и массы m в магнитном поле описывается системой ОДУ:

$$\begin{aligned}\dot{\mathbf{v}} &= \frac{q}{mc} \mathbf{v} \times \mathbf{B}, \quad \dot{\mathbf{r}} = \mathbf{v}, \\ \mathbf{v} &= v_x \mathbf{i} + v_y \mathbf{j} + v_z \mathbf{k}, \quad \mathbf{r} = x \mathbf{i} + y \mathbf{j} + z \mathbf{k}.\end{aligned}\tag{П2.56}$$

Получить численное решение задачи об отражении заряженной частицы от магнитного зеркала. В этом случае:

$$\begin{aligned}B_x &= -\frac{x}{2} \cdot \frac{B_1 - B_0}{\pi l} \cdot \frac{1}{1 + \frac{(z-L)^2}{l^2}}, \\ B_y &= -\frac{y}{2} \cdot \frac{B_1 - B_0}{\pi l} \cdot \frac{1}{1 + \frac{(z-L)^2}{l^2}}, \\ B_z &= B_0 + (B_1 - B_0) \left(\frac{\pi}{2} + \operatorname{arctg} \frac{z-L}{l} \right) \cdot \frac{1}{\pi}.\end{aligned}$$

Начальные данные:

$$x(0) = \frac{v_1}{\omega_0}, \quad y(0) = 0, \quad z(0) = 0$$

($\omega_0 = qB_0/(mc)$ — ларморова частота),

$$v_x(0) = 0, \quad v_y(0) = -V_1, \quad v_z(0) = -V_1 \cdot \operatorname{ctg} \alpha,$$

$$\omega_0 = 1, \quad \frac{B_1}{B_2} = 2, \quad V_1 = 1, \quad l = 10, \quad L = 40, \quad \alpha \in \left[\frac{\pi}{4}; \frac{\pi}{2} \right].$$

Получить численное решение задачи о движении заряженной частицы в магнитной ловушке. В этом случае:

$$\begin{aligned}B_x &= -\frac{x}{2} \cdot \frac{B_1 - B_0}{2l} \cdot \pi \cdot \sin \frac{\pi z}{l}, \\ B_y &= -\frac{y}{2} \cdot \frac{B_1 - B_0}{2l} \cdot \pi \cdot \sin \frac{\pi z}{l}, \\ B_z &= B_0 + \frac{B_1 - B_0}{2} \left(1 - \cos \frac{\pi z}{l} \right).\end{aligned}$$

Начальные условия:

$$x(0) = \frac{V_1}{\omega_0}, \quad y(0) = 0, \quad z(0) = 0, \quad v_x(0) = 0, \quad v_y = -V_1,$$

$$v_z(0) = -V_1 \cdot \operatorname{ctg} \alpha, \quad \omega_0 = 1, \quad \frac{B_1}{B_0} = 2,$$

$$V_1 = 1, \quad l = 20, \quad \alpha \in \left[\frac{\pi}{4}; \frac{\pi}{2} \right].$$

- Использовать методы Рунге–Кутты 1-го и 4-го порядков точности;
- исследовать сходимость численных решений по сетке (при $\tau \rightarrow 0$, τ — шаг по времени).

23. Некоторые процессы в плазме, в биосистемах и в химических реакциях описываются нелинейным уравнением теплопроводности вида

$$\frac{\partial T}{\partial t} = \frac{\partial}{\partial x} \left[k(T) \frac{\partial T}{\partial x} \right] + Q(t), \quad (\text{П2.57})$$

где $T(t, x)$ — температура среды, $\{t, x\}$ — независимые переменные, $k(T)$ — нелинейный коэффициент теплопроводности, $Q(t)$ — нелинейная функция (например, моделирующая процессы горения, детонации); обычно: $k(T) = k_0 T^\alpha$; $Q(T) = q_0 T^\beta$; $k_0, q_0, \alpha > 0$; $\beta > 1$. При $\beta > \alpha + 1$ реализуется так называемый *LS*-режим с обострением, при $\beta < \alpha + 1$ — *HS*-режим с неограниченным ростом температуры, при $\beta = (\alpha + 1)$ — *S*-режим (полуширина профиля температуры постоянна). При $\beta > \alpha + 1$ полуширина профиля сокращается, процесс локализуется, формируется так называемая диссипативная структура, при $\beta < \alpha + 1$ наблюдаются тепловые волны, амплитуда которых растет. Профиль задается в виде, представленном на рис. П2.13.

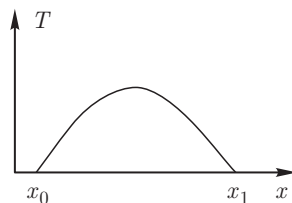


Рис. П2.13

- Проверить эти выводы численно, используя неявную схему. Положить:

$$\{k_0 = 1, \quad q_0 = 1, \quad q_0 = 1; \quad \beta = 3, \quad \alpha = 2\};$$

$$\{k_0 = 1, \quad q_0 = 1; \quad \beta = 3,18; \quad 1,667; \quad \alpha = 2\};$$

- проверить сходимость численных решений по сетке (т. е. при $h \rightarrow 0$, h — шаг по координате);
- вывести профили $T(x)$ в различные моменты времени.

24. Множество точек на фазовой плоскости, к которым стремится решение ОДУ, называется *аттрактором*. Представить численное решение следующих задач на фазовой плоскости и исследовать эти задачи на наличие аттракторов.

Аттрактор Лоренца:

$$\begin{cases} \dot{x} = \sigma y - \sigma x, & x(0) > 0, \quad y(0) = y_0, \quad z(0) = z_0 \\ & (y_0 = 1, z_0 = 1), \\ \dot{y} = -xz + rx - y, & \sigma = 10, \quad r = 28, \quad b = \{8/3; 10; 20\}; \\ \dot{z} = xy - bz, & t_k = 20; \quad \tau = 10^{-3}, \quad 10^{-2}. \end{cases} \quad (\text{П2.58})$$

(σ — число Прандтля, r — число Рэлея).

Аттрактор Реслера:

$$\begin{cases} \dot{x} = -y - z, & x(0) = 0, \quad y(0) = y_0, \quad z(0) = z_0, \\ \dot{y} = x + \frac{y}{5}, & \mu > 0, \quad 0 < \mu \leq 10, \\ \dot{z} = \frac{1}{5} + z(x - \mu). \end{cases} \quad (\text{П2.59})$$

Аттрактор Рикитаци:

$$\begin{cases} \dot{x} = -\mu x + yz, & \gamma_1 \in [0,002; 0,004], \\ \dot{y} = -\mu y + xr, & \gamma_2 = 0,002; \quad \mu \in [0,2; 2], \\ \dot{z} = 1 - xy - \gamma_1 z, & x(0) = 0, \quad y(0) = y_0, \quad z(0) = z_0, \\ \dot{r} = 1 - xy + \gamma_1 r, & r(0) = r(0). \end{cases} \quad (\text{П2.60})$$

Провести исследования свойств систем ОДУ (П2.61)–(П2.63) в зависимости от параметров процессов ($\sigma, r, b, \gamma_1, \gamma_2$):

- исследовать сходимость численного решения по сетке;
- использовать методы Рунге–Кутты первого и четвертого порядков точности.

25. Нелинейное уравнение теплопроводности способно описывать распространение тепловых волн, волн горения и т.п. Рассмотрим следующие уравнения.

а) Уравнение Колмогорова–Пискунова–Петракова (КПП):

$$\frac{\partial u}{\partial t} = \frac{\partial^2 u}{\partial x^2} + au(1-u), \quad u(-\infty, t) = 1, \quad u(\infty, t) = 0, \quad (\text{П2.61})$$

$$\text{б) } u \in [0, 1; 10]; \quad k = \text{const} = 1, \quad u(x, 0) = \begin{cases} 1, & x \leq k, \\ 0, & x > k. \end{cases} \quad (\text{П2.62})$$

2. Уравнение Зельдовича–Франка–Каменецкого (задача горения):

$$\frac{\partial u}{\partial t} = \frac{\partial^2 u}{\partial x^2} + au(u - \varepsilon)(1 - u), \quad 0 < \varepsilon \leq 1, \quad (\text{П2.63})$$

начальные и граничные условия — (П2.61), (П2.62).

- Получить численное решение (П2.61)–(П2.63) методом второго порядка точности;
- исследовать сходимость численного решения по сетке;
- построить профили $u(x)$ в различные моменты времени.

26. Нагревание пластины лазерным излучением описывается нестационарным двумерным уравнением теплопроводности:

$$c \frac{\partial T}{\partial t} = \frac{1}{r^N} \cdot \frac{\partial}{\partial r} \left(r^N k(T) \frac{\partial T}{\partial r} \right) + \frac{\partial}{\partial z} \left[k(T) \frac{\partial T}{\partial z} \right] + q, \quad (\text{П2.64})$$

где $T(t, r, z)$ — температура, c — коэффициент теплоемкости, $k(T)$ — коэффициент теплопроводности, $N = 0$ в плоской и $N = 1$ в цилиндрической геометрии.

а) Начальная температура:

$$T(0, r, z) = T_0 [1 + \cos(2\pi z) \cdot \cos(2\pi r)] + T_1, \\ T_0 = 100, \quad T_1 = 2; \quad k(T) = 1, \quad c = 1, \quad q = 1.$$

В этом случае точное решение имеет вид

$$T = T_0 \left[1 + e^{-8\pi^2 t} \cdot \cos(2\pi z) \cdot \cos(2\pi r) \right] + T_1. \quad (\text{П2.65})$$

б) $q = q_0 e^{-(z/z_0^z)^2}$, $t < \tau$; $q = 0$, $t > \tau$, $q_0 = 10^6$ Вт/см², $k_0 = 5$ мкм, $\tau = 100$ мкс, $T_0 = 300$ К; коэффициент поглощения возрастал от 0,05 для $T = T_0$ до 0,15 для $T = T_{\text{пл}}$ (температура плавления). Для железа $c = 4$ Дж/(см³ · К), $k_{\text{т}} = 0,8$ Вт/(см · К) — твердая фаза; $Q_{\text{пл}} = 2214$ Дж/см³; $k_{\text{ж}} = 0,4$ Вт/(см · К) — расплав. Теплота плавления $Q_{\text{пл}}$ учитывается добавлением к теплоемкости величины $Q_{\text{пл}}/(2 \cdot \Delta T_{\text{пл}})$ при $T_{\text{пл}} - \Delta T_{\text{пл}} < T < T_{\text{пл}} + \Delta T_{\text{пл}} + \Delta T_{\text{пл}}$ ($\Delta T_{\text{пл}} \approx 25 \div 50$ К). Зависимость $c_V(T)$ представлена на рис. П2.14.

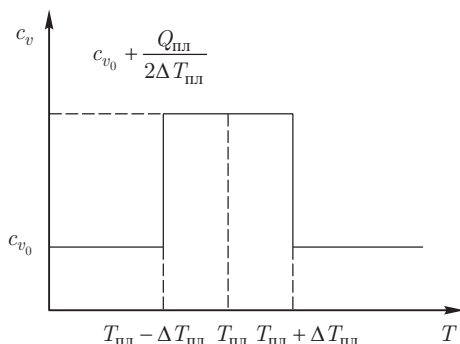


Рис. П2.14

Число частиц, испаренных с единицы поверхности:

$$N_e = \frac{2\pi m}{kT_{\text{пл}}} v_0^3 \alpha \exp \left[- \left(\frac{\lambda_1}{kT} + 1 \right) \right], \quad (\text{П2.66})$$

m — масса молекулы, k — постоянная Больцмана, λ_1 — энергия связи кристаллической решетки, v_0 — дебаевская частота (в качестве λ_1 выбирается работа выхода, соответствующая наиболее легко испаряемой компоненте; $\lambda_1 \approx 4,3$ эВ). $\alpha \in [0,1 \div 0,82]$ — учет обратного потока частиц.

- Получить численное решение (П2.64) с помощью явной и неявной схем;
- сопоставить решение п. а) с точным;
- проверить сходимость решения по сетке.

27. Движение частицы в центрально-симметричном поле с потенциалом $U(r)$ описывается уравнением Шрёдингера

$$\Delta \Psi + \frac{2\mu}{\hbar^2} [E - U(r)] \Psi = 0, \quad (\text{П2.67})$$

где Δ — оператор Лапласа в сферических координатах r, Θ, φ ; μ, \hbar — постоянные; решение ищется в виде

$$\Psi = Y_{\ell m}(\Theta, \varphi) \cdot R(r) r,$$

где $Y_{\ell m}$ — известная сферическая функция; ℓ, m — целые числа. Обозначив

$$\lambda = \frac{2\mu}{\hbar^2} E, \quad V(r) = \frac{2\mu}{\hbar^2} U(r) + \frac{\ell(\ell+1)}{r^2}, \quad (\text{П2.68})$$

получим задачу для определения $R(r)$:

$$R''_r - [V(r) - \lambda] R = 0, \quad r \in [0, \infty]; \quad R(0) = 0;$$

второе граничное условие — нормировки:

$$\int_0^\infty R^2(r) dz = 1. \quad (\text{П2.69})$$

- Получить численное решение задачи методом стрельбы (рис. П2.15). Обычно на бесконечности ставится условие $R(r^*, \lambda) = 0$, где r^* — достаточно большое число. Из этого уравнения методом Ньютона (или просто перебором) находим λ . Положим, что при $\lambda = \lambda_1$ имеем $R(r^*, \lambda) > 0$, при $\lambda = \lambda_2$ будет $R(r^*, \lambda) < 0$; тогда выбираем $\lambda = (\lambda_1 + \lambda_2)/2$ и т. д. Какие трудности встретятся при численной реализации метода стрельбы?

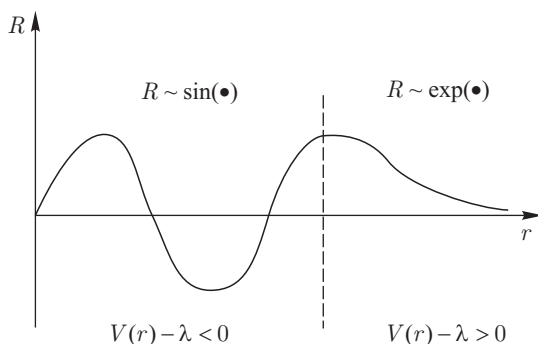


Рис. П2.15

- Получить численное решение задачи методом трехточечной прогонки;
- исследовать сходимость решения по сетке;
- получить численные решения для нескольких λ_i ($i = 1 \div 5$).

28. Для численного решения краевой задачи ОДУ

$$\frac{\partial^2 u}{\partial x^2} = f(u), \quad u(0) = U_1, \quad u(L) = U_2 \quad (\text{П2.70})$$

воспользоваться тремя вариантами трехточечной прогонки (предварительно получив прогоночные соотношения):

- а) прямая прогонка (слева направо);
- б) обратная (справа налево);
- в) встречные прогонки.

Положить:

$$f(u) = e^{\alpha u}; \quad f(u) = \sin(\omega u), \quad U_1 = 0, \quad U_2 = 1, \quad L = 1. \quad (\text{П2.71})$$

29. Пусть в (П2.70) краевые условия являются периодическими. Получить формулы для трехточечной периодической прогонки и численно решить (П2.70).

Исследовать поведение численного решения в зависимости от параметров α и ω в (П2.71).

30. Для аппроксимации краевой задачи

$$u_x^{\text{IV}} = f(x), \quad x \in [0, L], \quad u(0) = 0, \quad u(L) = 0, \quad u'(0) = 1, \quad u'(L) = 1, \quad f(x) = \text{const} \quad (\text{П2.72})$$

получить формулы пятиточечной прогонки и численно решить (П2.72), положив $L = 1$.